

東洋技研コンサルタント 正員 島田 功 摂南大学工学部 正員 平城 弘一  
 摂南大学工学部 学生員 ○飯田 隆之 摂南大学工学部 学生員 森本 賢一郎

**1. まえがき** 頭付きスタッドは、鋼・コンクリート合成構造のずれ止め、またはアンカ材として広く用いられている。従来のスタッドに関する研究は実験的なものがほとんどであり、スタッドの耐荷力、ずれ性状および疲労強度のような強度・挙動特性を巨視的な形で把握するに過ぎないものであった。しかしながら、近年コンピューターの進歩により解析手法が発達し、これまで解明が不可能とされてきた問題までも、微視的な観点から明らかにされようとしている。そこで、本研究では、コンクリートに埋め込まれたスタッドにせん断力が作用した場合について、FEMによる解析プログラムを開発し、スタッド周辺部の力学挙動を知るために3次元応力解析を行った。

**2. 解析手法** 図-1は、解析用モデルの要素分割を示したものである。このモデルは鋼板に溶接されたスタッドがコンクリートに埋め込まれている状態を想定したもので、その形状寸法は過去の押し抜き試験に近似させている。なお、スタッドおよびコンクリートの断面・高さ方向の分割数は、種々変化させた解析を行い、解の収束性から判断して決定したものである<sup>1)</sup>。解析は鋼板の一端に強制変位を与えて行い、コンクリート側の拘束条件は押抜き試験に近いものとした。本解析プログラムは、スタッドとコンクリートの接触面に起こるはく離・すべり（図-2参照）、さらにコンクリートにはひび割れ・塑性すべり（図-3参照）、鋼板とスタッドには降伏も考慮できる。スタッドは直径19mmで高さ100mmのものについて解析を行つ

た。図-2、図-3に示された $\tau_0$ と $\phi$ は、既往の研究<sup>2), 3)</sup>で得られたものを使用した。

表-1に鋼とコンクリートの材料定数を示す。

### 3. 解析結果と考察

図-4に荷重(P)とずれの関係の解析結果を示す。同図には押抜き試験結果も直接比較するために併記されている。また参考のために、道示の許容せん断力( $Q_s$ )も記されている。この

図より明らかなように

表-1 材料定数

	鋼	コンクリート
ヤング係数 E(kgf/cm <sup>2</sup> )	2.1×10 <sup>6</sup>	2.7×10 <sup>5</sup>
ボアン比 ν	0.3	0.167
せん断弾性係数 G=E/(2(1+ν))(kgf/cm <sup>2</sup> )		

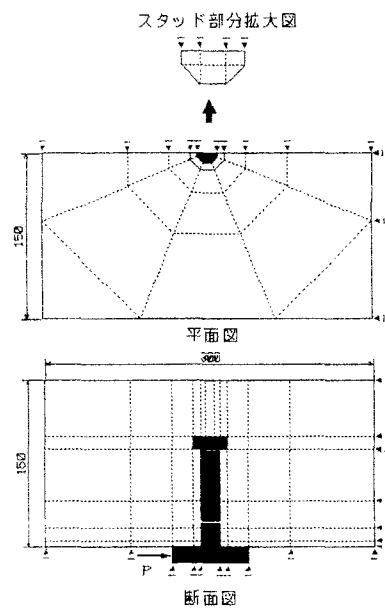


図-1 解析モデル

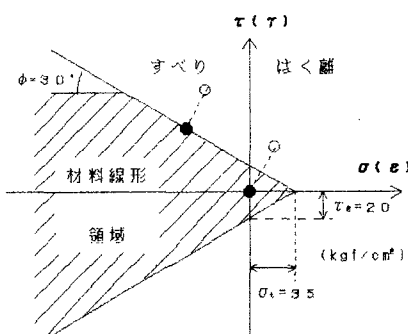


図-2 材料間のすべり・はく離モデル

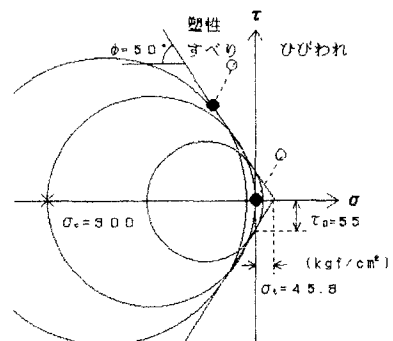


図-3 コンクリートの降伏モデル

Isao SIMADA, Hirokazu HIRAGI, Takayuki IIDA and Kenichiro MORIMOTO

非線形の本解析結果のいずれは、実測値<sup>4)</sup>より若干大きな値を示しているが、傾向的にはほぼ近似していると言える。

図-5は、荷重増分におけるスタッドとコンクリートの接合面およびスタッド根元周辺のコンクリートの非線形挙動を示したものである。ここで、ずれ量( $\delta$ )はスタッド根元中心の変位である。この図から、非線形挙動の進展は、まずはく離がスタッド背面に起こり、その後ひびわれがその側面に発生し、さらにすべりも側面に生じ、やがてスタッド支圧面のコンクリートが塑性化すること分かつた。

図-6(a),(b)は、スタッドの支圧側(前面)・背面における応力比分布( $\sigma_z$ )を示したものである。応力はスタッド根元に集中し、ほぼスタッド軸径(D)に等しい高さで反転していることが分かる。

図-7(a)は、コンクリートのスタッド前面における応力比分布( $\sigma_x$ )示したものである。応力がスタッド根元に集中していることが分かる。図-7(b),(c)は、スタッド根元における次の3つの応力比を示したものである:①応力比( $\sigma_x$ )のスタッド前面からy軸方向の分布、②応力比( $\sigma_y$ )のスタッド前面からx軸方向の分布。これら2つの図から、コンクリートの応力はスタッド周辺に集中していることが分かる。

[参考文献] 1)島田他:関西支部年譲,1994. 2)川鉄研究資料,1981.

3)機構造工学研究室資料,1994.

4)平城:大阪大学学位論文,1990.

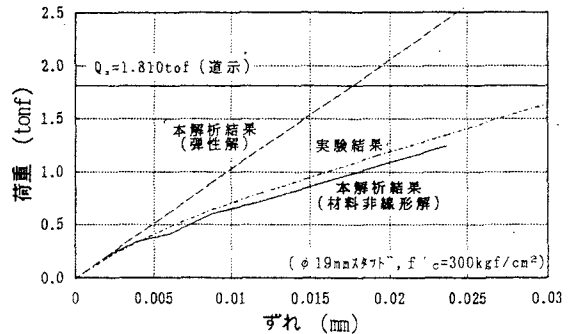


図-4 荷重-ずれ曲線(実験値と解析値との比較)

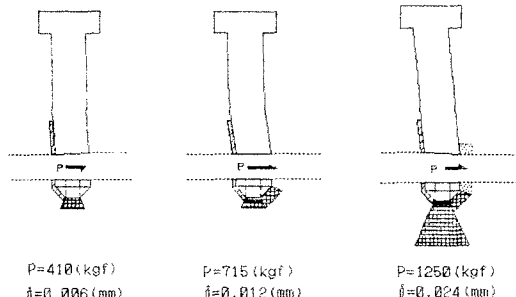


図-5 非線形状態およびズレ変形の進展図

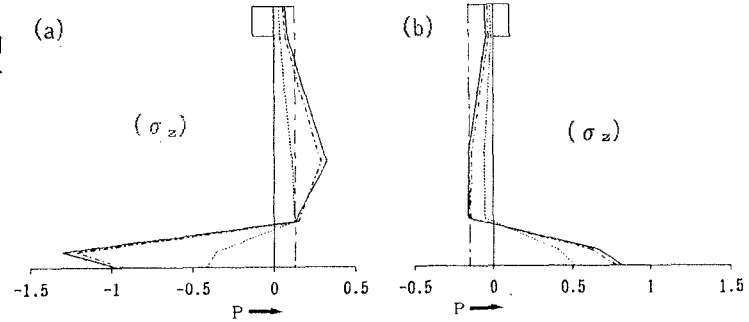


図-6 スタッドの応力比( $\sigma / \sigma_0$ )分布 [ $\sigma_0 = P/D^2$ ]

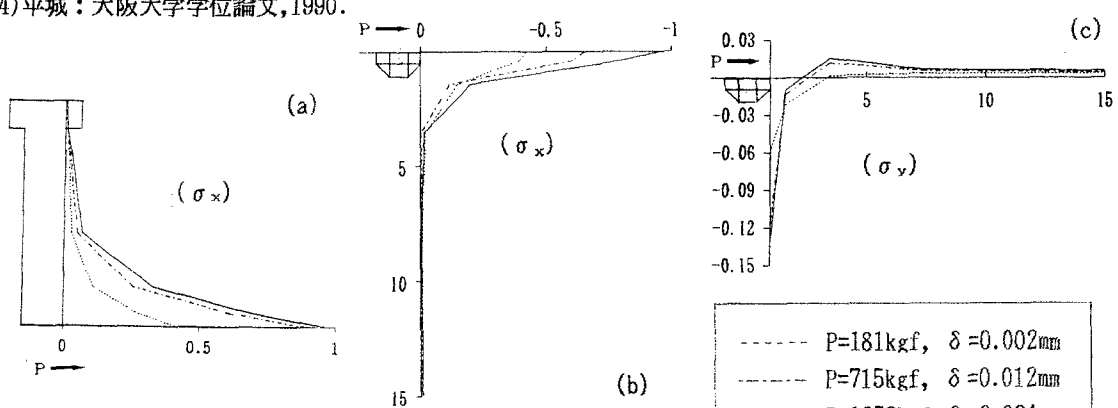


図-7 コンクリートの応力比( $\sigma / \sigma_0$ )分布